

Belle IIでの軽い新粒子探索

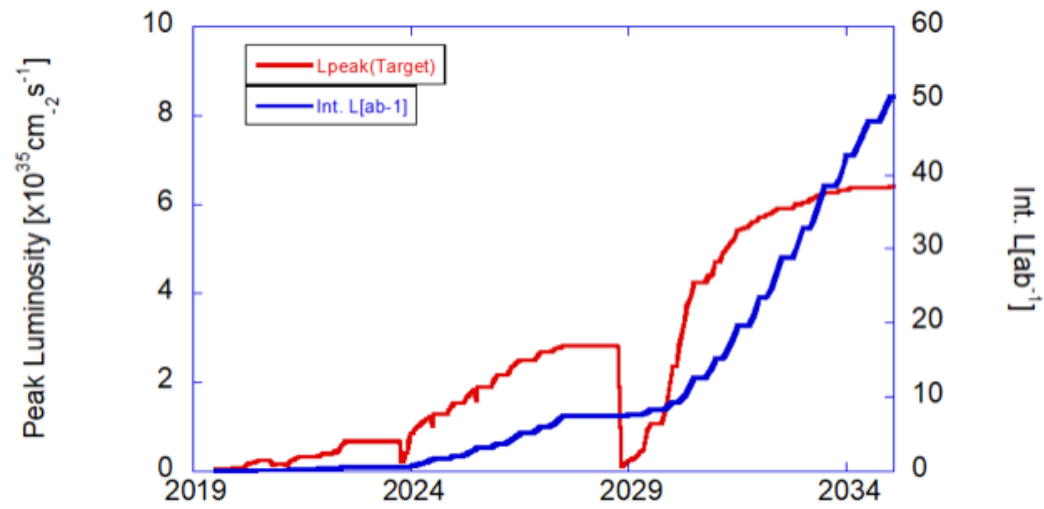
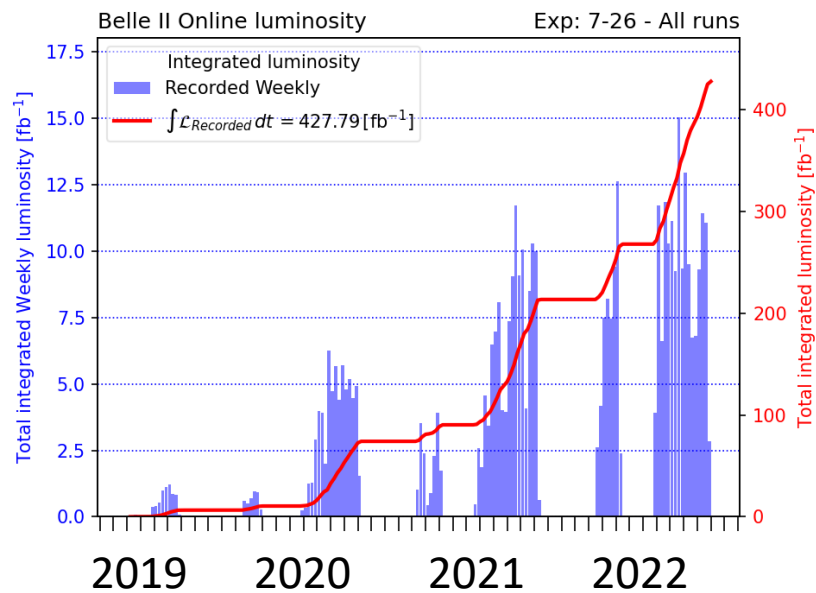
～物理を中心に～

石川 明正
(KEK)
金沢大学/オンライン



Luminosity Profile and Dataset

- June 2022 : Run1 operation stopped
 - World's highest luminosity of $4.7 \times 10^{34} \text{ cm}^{-2}\text{s}^{-1}$
 - 428fb^{-1} data were accumulated so far
 - 362fb^{-1} on resonance, 42fb^{-1} off-resonance, 19fb^{-1} energy scan
 - C.f. Belle collected 1040fb^{-1}



Belle II での軽い新粒子探索

- Dark Sector Mediators (and dark matter)
 - Pseudo Scalar : ALPs
 - Scalar : Dark Higgs
 - Vector : Dark Photon, Z' in L_μ - L_τ
 - ATOMKI X17 (a variant of dark photon?)
 - Inelastic dark matter : χ_1 and χ_2
 - SIMP
 - Fermion : sterile neutrinos
- Heavy QCD Axion
- Dark matter in B-Mesogenesis (Dark Matter has baryon number)
- CP odd scalar A^0
- SUSY singlino
- Magnetic monopole/dyon
- And new particles in your models

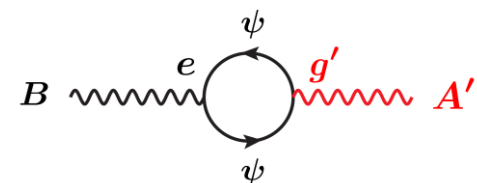
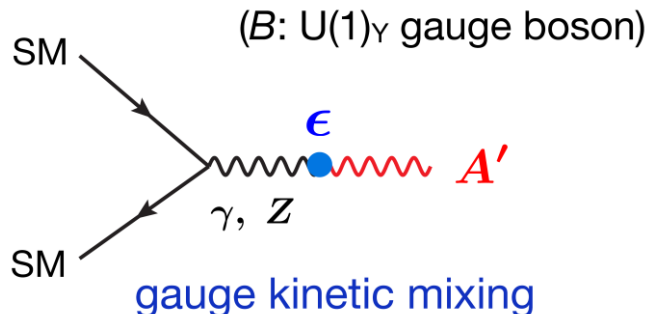
Dark Photon

- Belle II での探索結果はまだ出ていない
 - Belle, Babar の制限が強いので。

Dark Photon

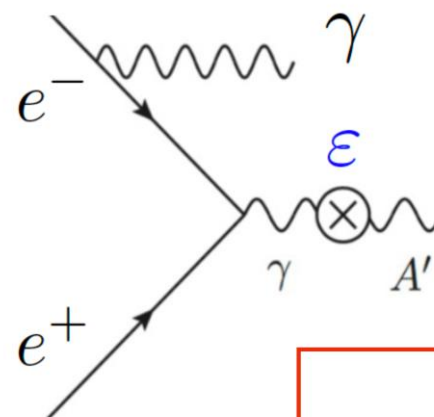
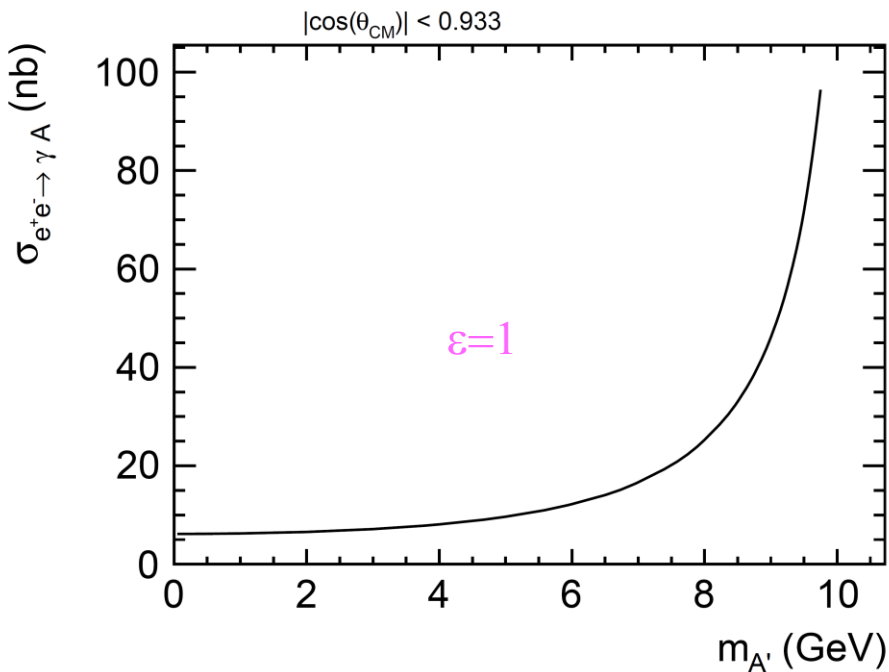
- U(1) gauge boson の kinetic mixing は禁止されていない。
 - 光子が dark photon A' に転換することが可能である。
 - Dark photon は
 - Invisible : dark matter に崩壊 ($m_{A'} > 2m_{\text{DM}}$), 結合定数 α_D
 - Visible : SM 粒子に崩壊($m_{A'} < 2m_{\text{DM}}$), 結合定数 $\varepsilon^2 \alpha_{\text{EM}}$
- 一般に $\alpha_D >> \varepsilon^2 \alpha_{\text{EM}}$

- Vector Portal : $\epsilon B_{\mu\nu} A'^{\mu\nu}$



Dark photon の生成

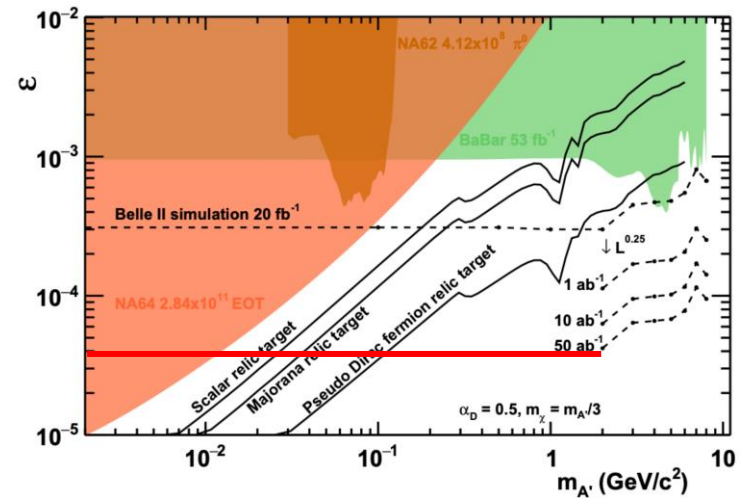
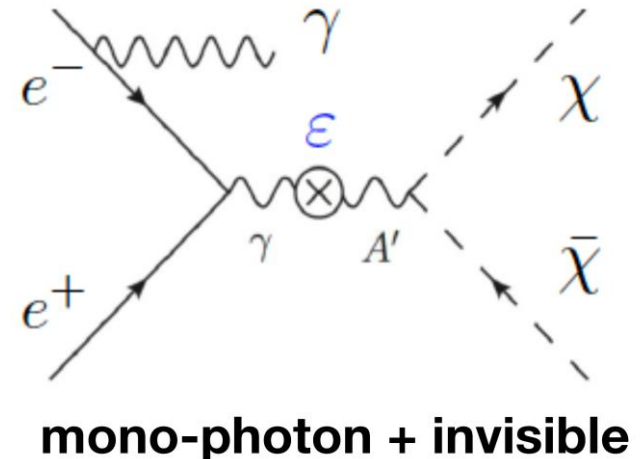
- $\varepsilon=10^{-3}$ とすると 1GeV A' で 5fb^{-1}



$$\sigma \propto \frac{\varepsilon^2 \alpha_{\text{em}}^2}{E^2}$$

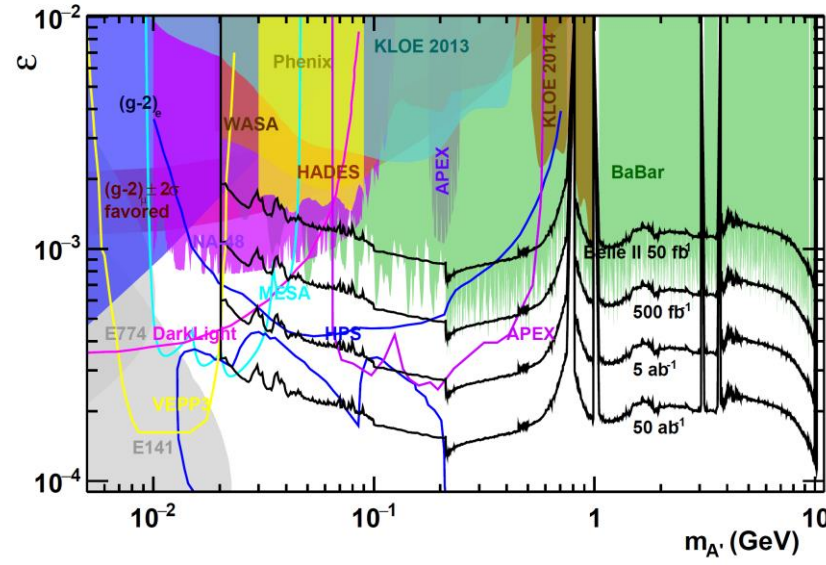
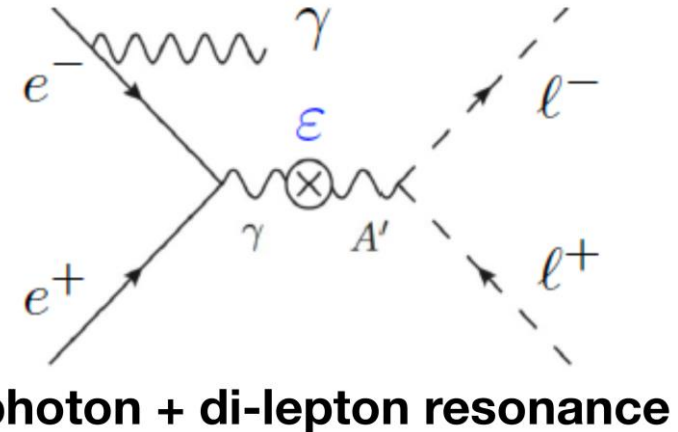
Invisible Dark Photon

- 終状態は光子1つ
 - Trigger : ECL total energy >1GeV
- 背景事象
 - $e^+e^- \rightarrow \gamma\gamma(\gamma)$
 - Cosmic
 - Single beam background
- 制限
 - $\varepsilon \sim < 3 \times 10^{-4}$ with 20fb^{-1}
 - $\varepsilon \sim < 4 \times 10^{-5}$ with 50ab^{-1}



Visible Dark Photon

- 終状態は光子と dilepton
 - Trigger
 - hie or two track trigger
 - Special trigger for low mass A'
- Signature
 - $e^+e^- \rightarrow A'\gamma, A' \rightarrow e^+e^-$ or $\mu^+\mu^-$
- 背景事象
 - $e^+e^- \rightarrow e^+e^-\gamma$
 - $e^+e^- \rightarrow \mu^+\mu^-\gamma$
- 感度
 - $\varepsilon \sim \text{a few} \times 10^{-4}$

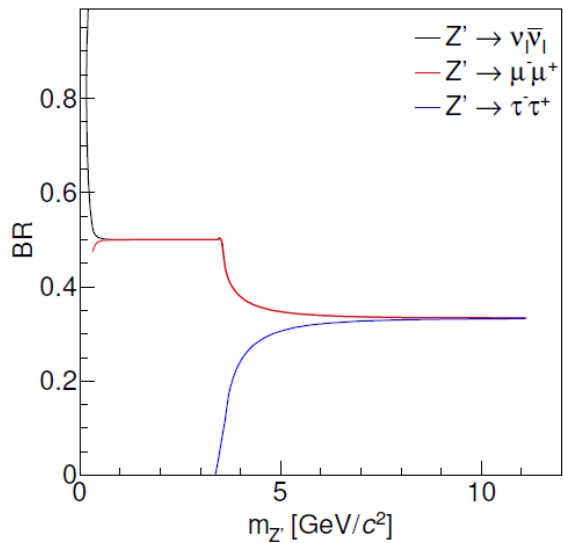


L_μ - L_τ 模型での Z'

- 特殊な dark photon
- むしろ dark sector というより anomaly free に motivate された模型という印象
- 最近だと muon g-2 に motivate された模型

L_μ - L_τ 模型での Z'

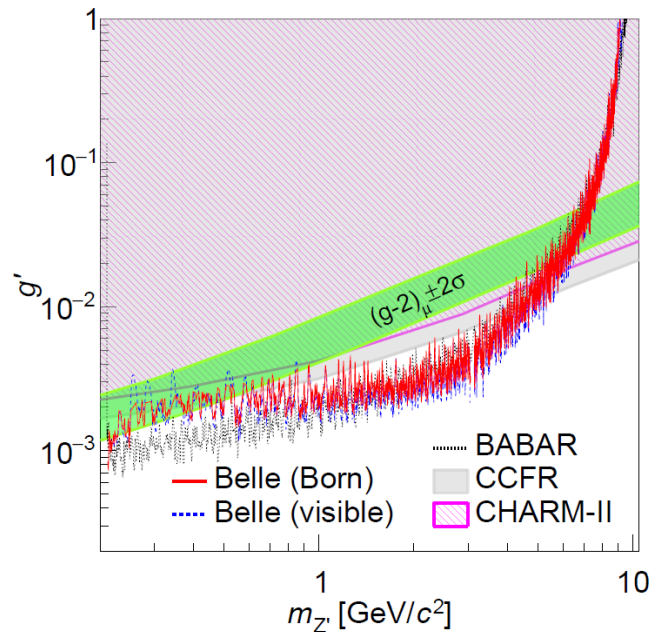
- L_μ - L_τ 模型では Z' は 第二第三世代のレプトンにしか結合しない : μ , τ , ν_μ , and ν_τ
 - Two parameters : $m_{Z'}$ and g'
- $\mathcal{L} = -g'\bar{\mu}\gamma^\mu Z'_\mu\mu + g'\bar{\tau}\gamma^\mu Z'_\mu\tau - g'\bar{\nu}_{\mu,L}\gamma^\mu Z'_\mu\nu_{\mu,L} + g'\bar{\nu}_{\tau,L}\gamma^\mu Z'_\mu\nu_{\tau,L}$
 - もし dark matter と結合可能で $m_{Z'} > 2m_\chi$ なら dark matter への崩壊分岐比がほぼ100% (fully invisible model)
 - DM に結合しない模型は Vanilla model
- Muon $g-2$ anomalyを説明できる



dark matter への崩壊分岐比を 0% と仮定し muon モードで探索

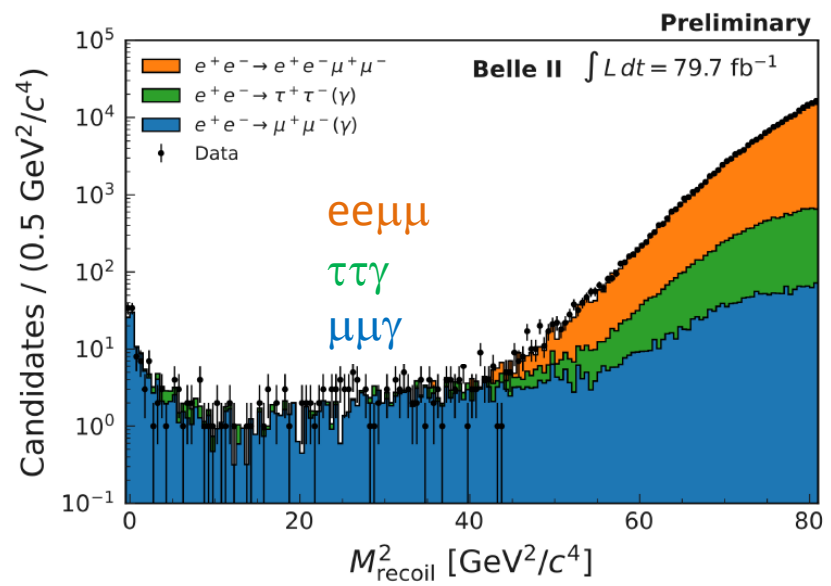
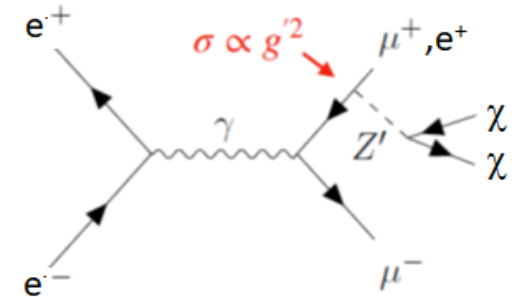
Vanilla Model

- Muon g-2 を説明する領域に対する制限
 - $m_{Z'} > 2m_\mu$ はほとんど排除されている
 - Belle and BaBar with muons
 - neutrino trident experiments CCFR and CHARM-II
 - $< 10\text{MeV}$ (Not shown)
 - BOREXINOによる one loop での制限
 - 許されている領域は $10\text{Mev} < m_{Z'} < 2m_\mu$
- 今後の探索
 - $Z' \rightarrow \nu\nu$ を使う
 - $\text{BF}(Z' \rightarrow \nu\nu) \sim 100\%$
 - つまり invisible mode である。



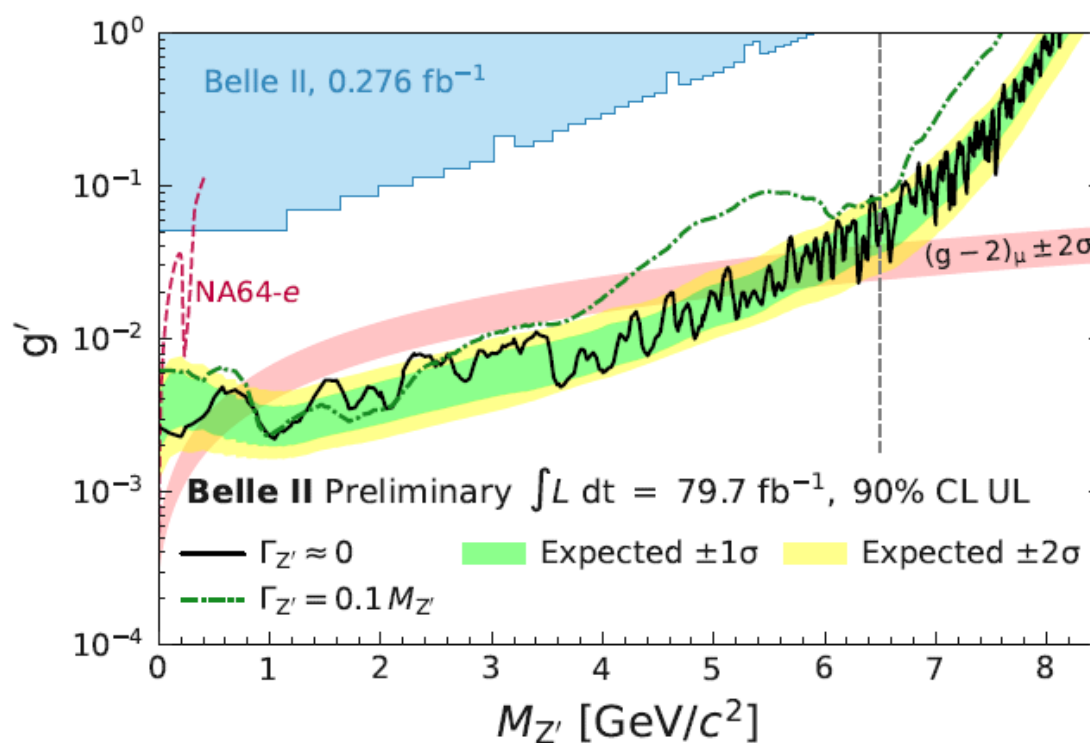
Invisible Z' in L_μ-L_τ model

- Typical cross section
 - ~10fb with $g'=0.01$ and $M_{Z'} = 1\text{GeV}$
- Signature
 - $e^+e^- \rightarrow \mu^+\mu^- Z' \rightarrow \mu^+\mu^-\chi\chi$
- Trigger
 - 2 track with opening angle
- Search
 - Dominant backgrounds
 - $ee \rightarrow ee\mu\mu, \tau\tau\gamma, \mu\mu\gamma$
 - Recoil mass and θ_{Recoil} to identify the signal



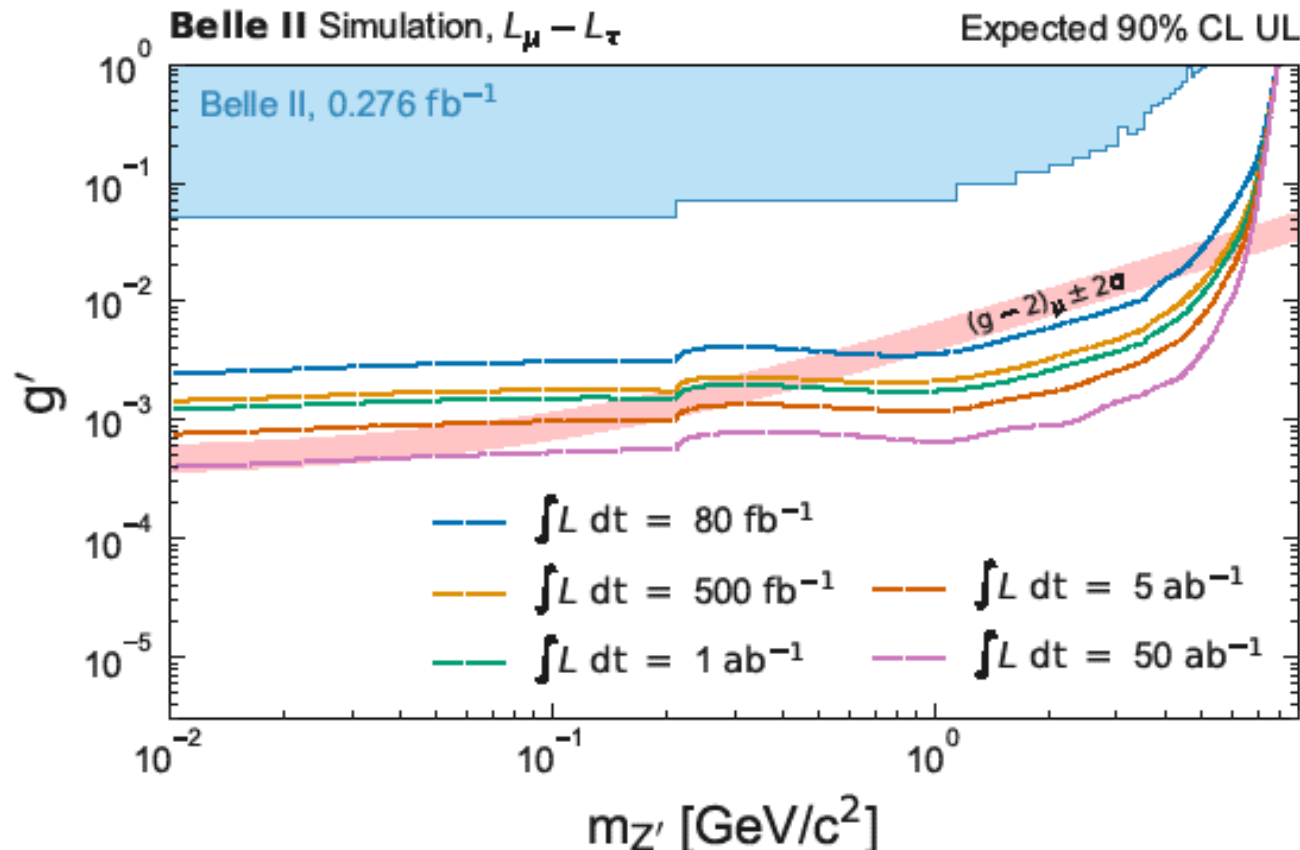
Limit on invisible Z'

- Invisible 崩壊で世界で初めて muon g-2 anomaly を説明する領域を排除
 - $0.8 < M_{Z'} < 4.5 \text{GeV}$



Invisible Z' : 将来の展望

- 50 ab^{-1} あれば muon g-2 を説明できる領域での発見もしくは排除が可能



Axion Like Particles (ALPs)

Axion Like Particles (ALPs)

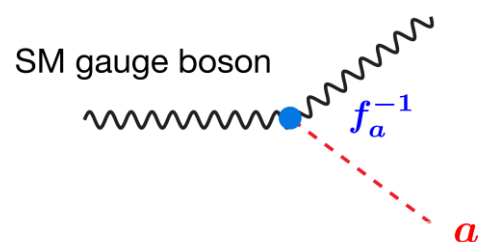
- Axion like particles (ALPs) 以下の
 - Global 対称性の自発的破れ
 - 超弦理論の String compactification
 - SM gauge group を作れる最大の群を選ぶと 181820 種類の ALPs が存在
- QCD Axion は質量と崩壊定数に関係があるが ($m_\pi f_\pi \sim m_a f_a$) ALPs には無い
 - 探索可能な parameter space が広い
- 単純のために ALP が光子としか結合しないと 2 parameters
 - $g_{a\gamma\gamma}$: coupling constant
 - m_a : mass of ALP

$$\delta\mathcal{L} = -\frac{1}{4}g_{a\gamma\gamma}aF_{\mu\nu}\tilde{F}^{\mu\nu} + \frac{1}{2}(\partial_\mu a)^2 - \frac{1}{2}m_a^2a^2$$

- Decay width (lifetime)

$$\Gamma_a = \frac{g_{a\gamma\gamma}^2 m_a^3}{64\pi}$$

- Axion Portal : $\frac{a}{f_a} F_{\mu\nu} \tilde{F}^{\mu\nu}$



Signature

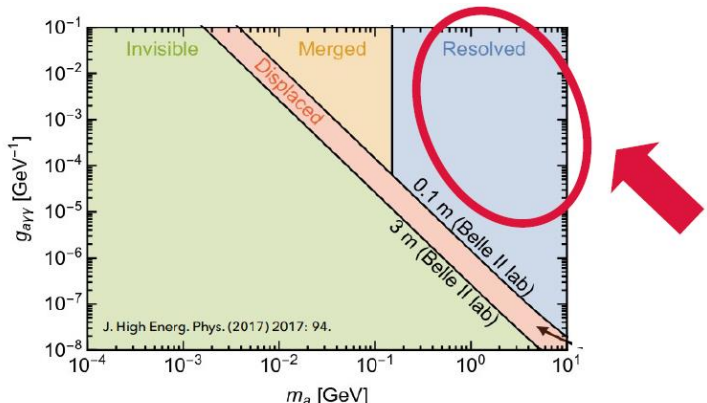
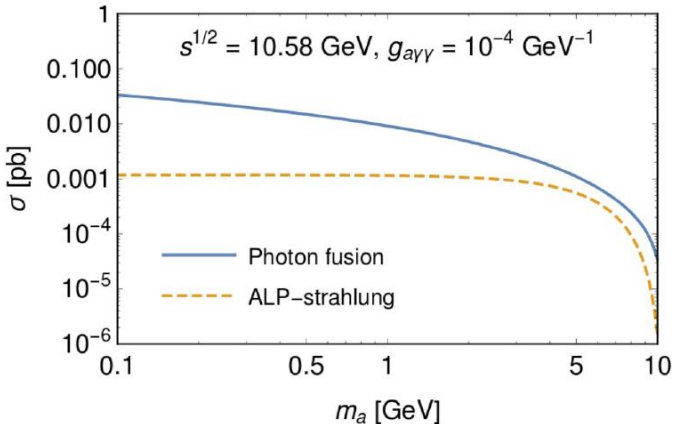
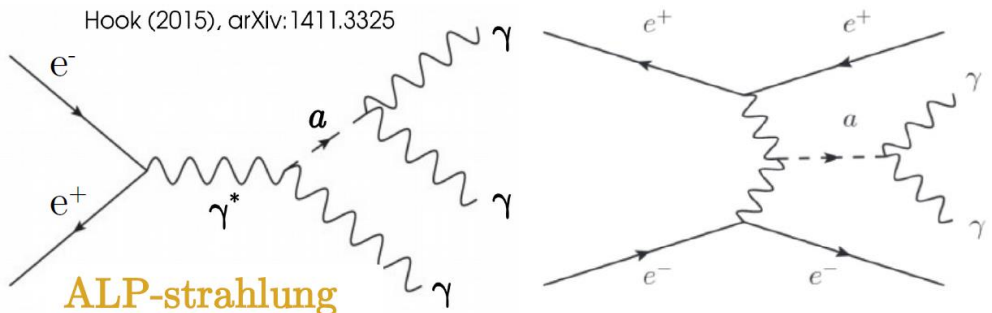
- ALP can be generated from
 - ALP-strahlung**
 - Photon fusion
 - under study

- Cross section
 - $\sim 1\text{fb}$ for $g_{a\gamma\gamma} = 10^{-4} \text{ GeV}^{-1}$

$$\sigma_a = \frac{g_{a\gamma\gamma}^2 \alpha_{\text{QED}}}{24} \left(1 - \frac{m_a^2}{s}\right)^3$$

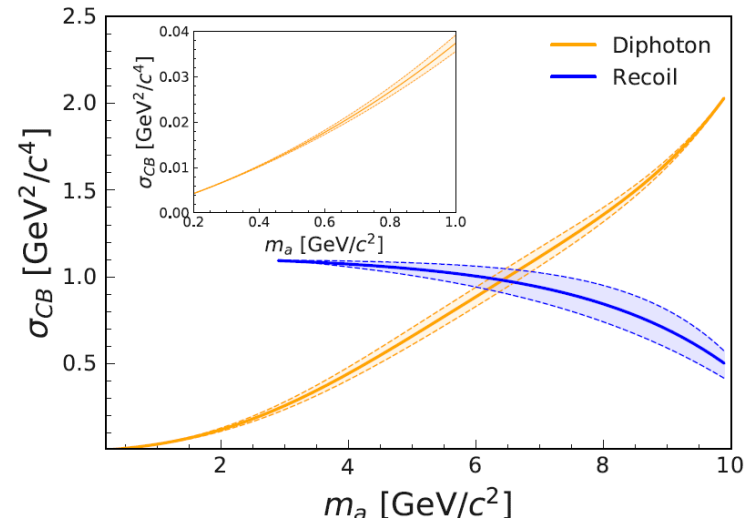
- Sequential two-body decays
 - $e^+e^- \rightarrow \gamma a, a \rightarrow \gamma\gamma$
 - Only three photons in a final states

- Belle II search for **shorter lifetime region**
 - Large coupling and large mass
 - beam dump experiments \rightarrow longer lifetime
 - two photons are resolved in EM calorimeters



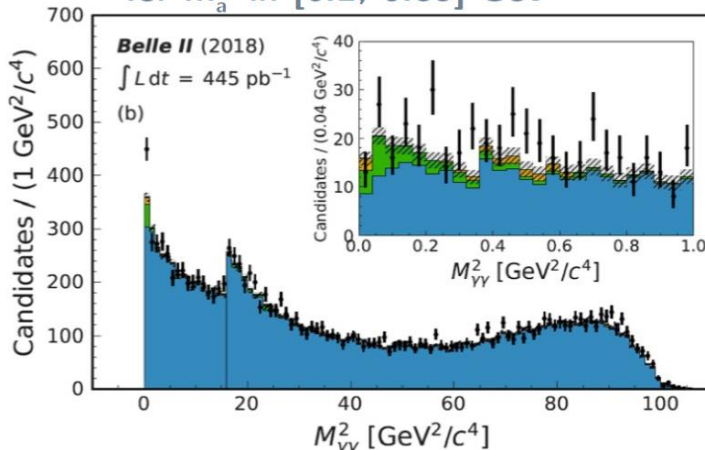
Search for ALPs at Belle II

- Trigger
 - hie : $E_{\text{sum}} > 1 \text{ GeV}$
- Two Reconstruction technique
 - Invariant mass for low mass $[0.2, 6.85] \text{ GeV}$
 - Recoil mass for high mass $[6.85, 9.7] \text{ GeV}$
- Dominant background is SM $e^+e^- \rightarrow \gamma\gamma\gamma$



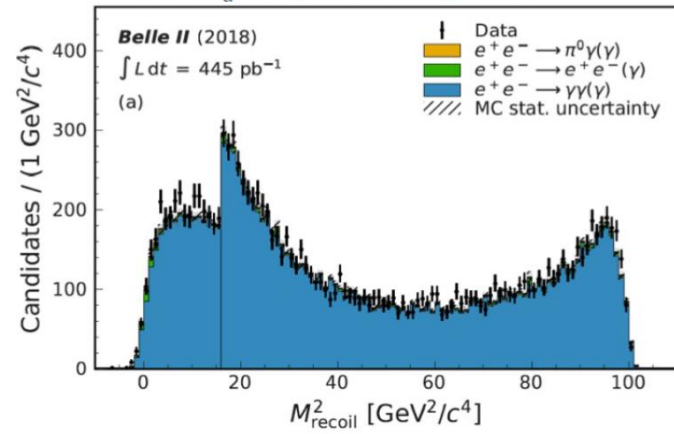
Diphoton invariant mass

for m_a in $[0.2, 6.85]$ GeV



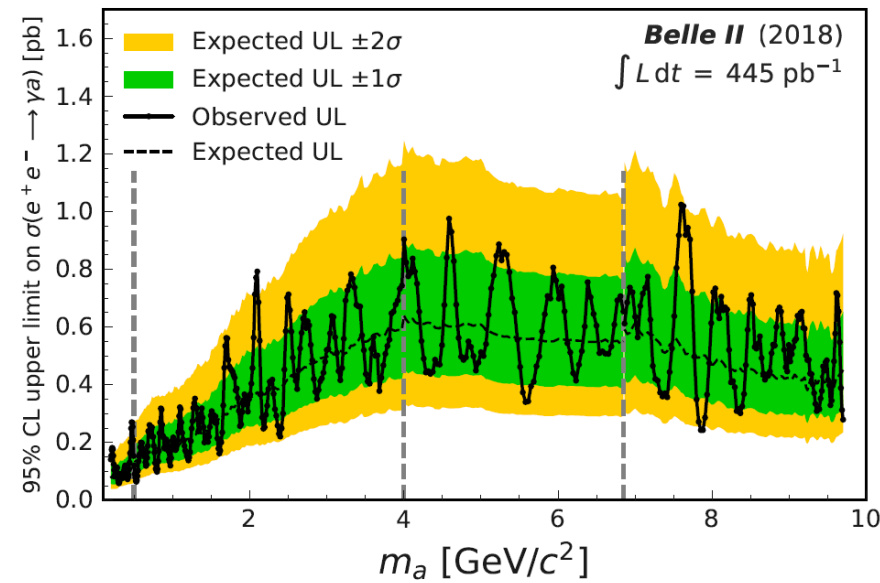
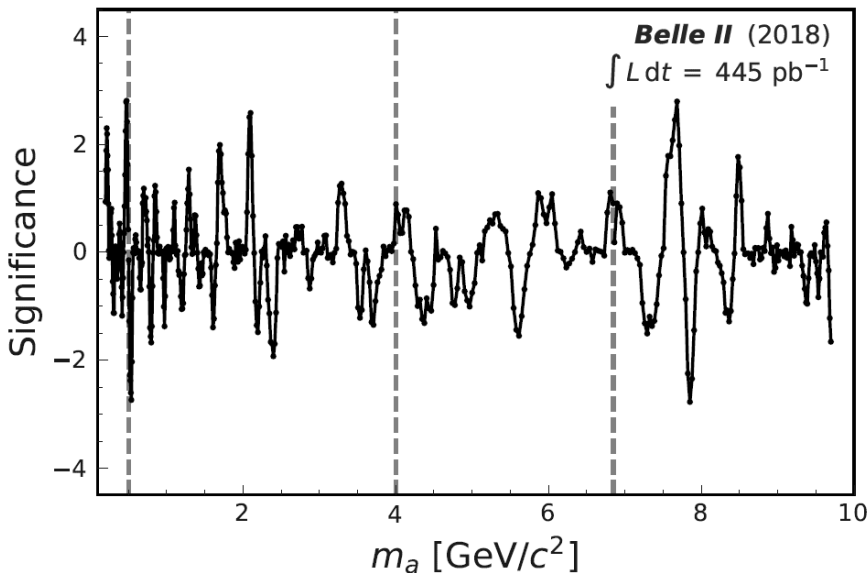
Recoil invariant mass

for m_a in $[6.85, 9.7]$ GeV



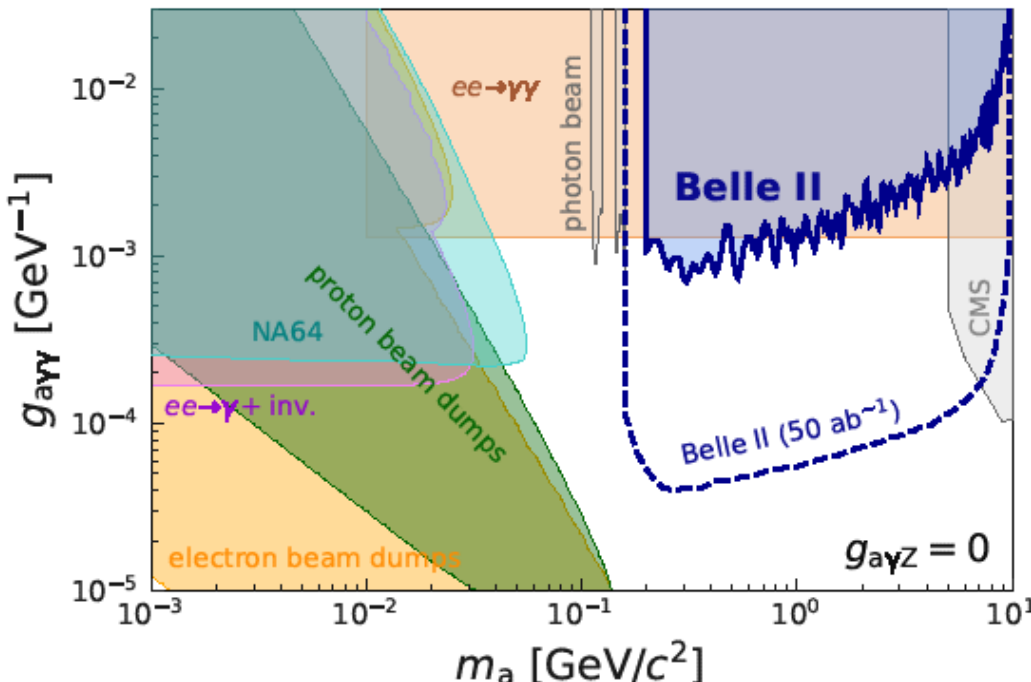
Limit on $\sigma(e^+e^- \rightarrow a\gamma)$

- No significant excess is observed
 - Largest local significance of 2.8σ at $m_a = 0.447\text{GeV}$
- Set a limit on σ .
 - $\sigma < 1\text{pb}$



Limit on ALP parameter space

- Coupling around 10^{-3}GeV^{-1} level
- World's best limit around 500MeV
- We can improve the sensitivity more than one order of magnitude in coupling with 50ab^{-1} data
- Adding **photon fusion process** gives better limit

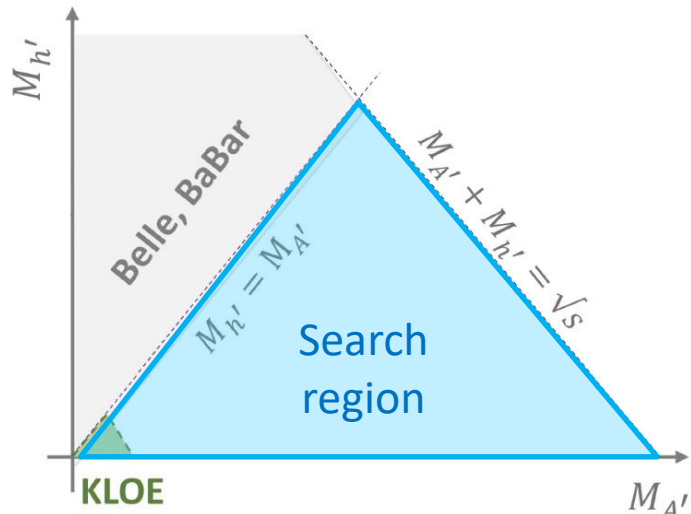
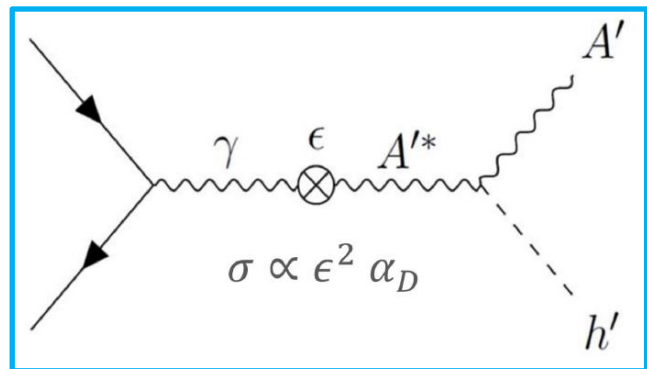
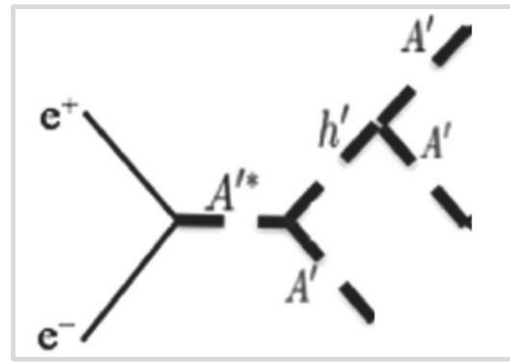


Dark Scalar

- Dark Photon からの輻射
- B中間子ループ崩壊での top quark からの輻射

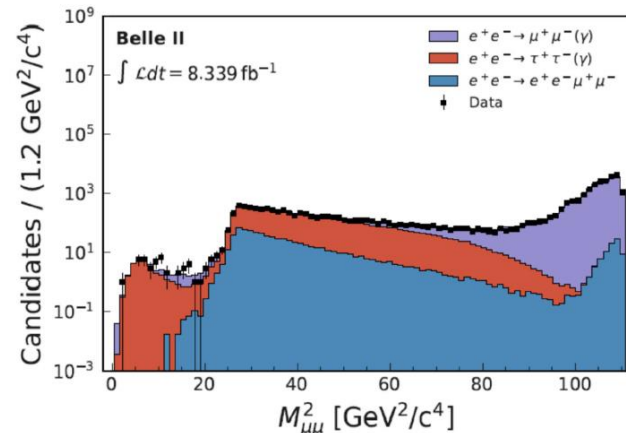
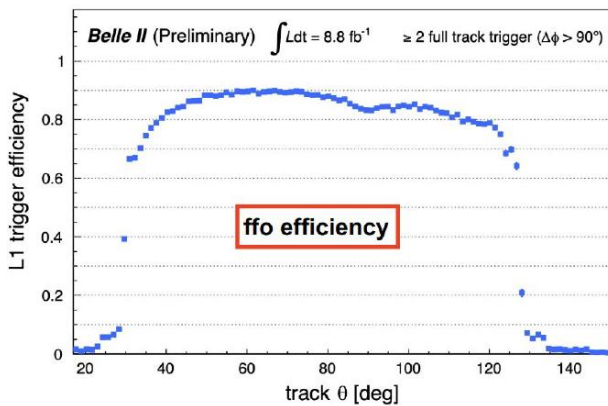
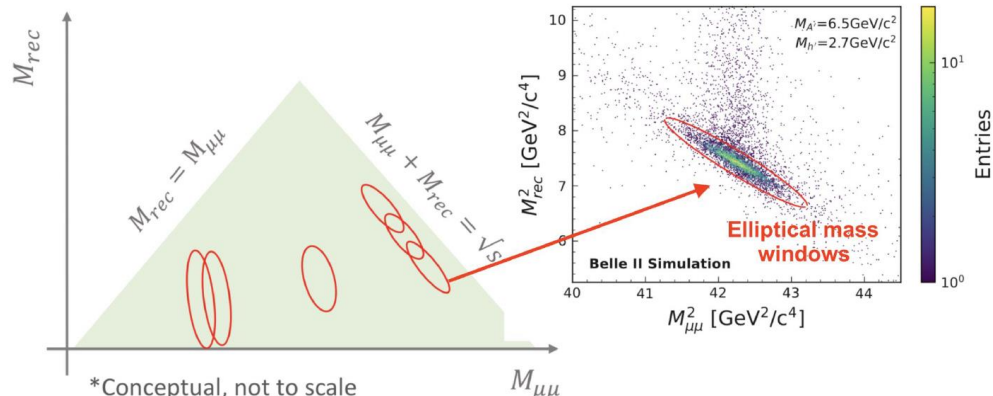
Dark Higgs

- Dark photon A' は dark Higgs field の自発的対称性の破れで質量を獲得したかもしない → physical dark Higgs h' が存在
 - 今回は SM Higgsとの mixing は仮定しない
 - Portal 粒子では無い
- Dark Higgs は dark higgsstrahlung process で生成可能 : $e^+e^- \rightarrow A'h'$
- 4 parameters
 - $M_{A'}$, $M_{h'}$
 - ϵ : kinetic mixing
 - α_D : coupling constant of dark sector
- $M_{h'} > M_{A'}$
 - Dark Higgs は visible $h' \rightarrow A'A'$
 - already covered by Belle and Babar
- $M_{h'} < M_{A'}$
 - Dark Higgs は invisible
 - KLOE でのみしか探索されていない
 - 広い探索領域が残っている



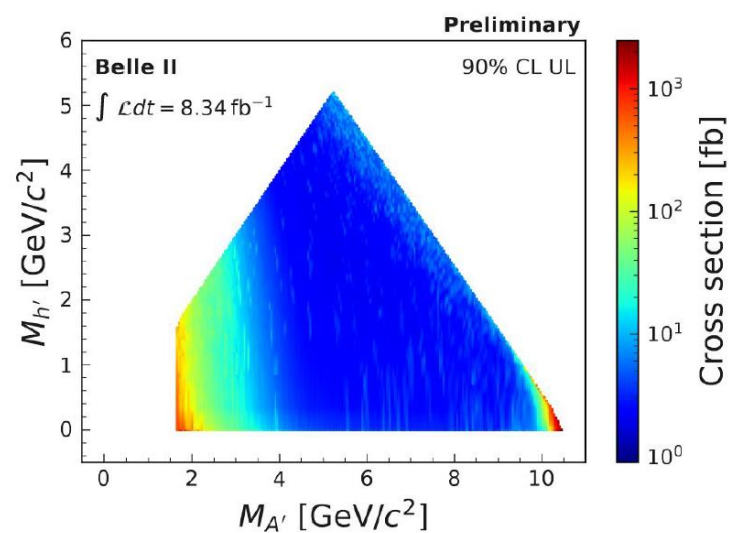
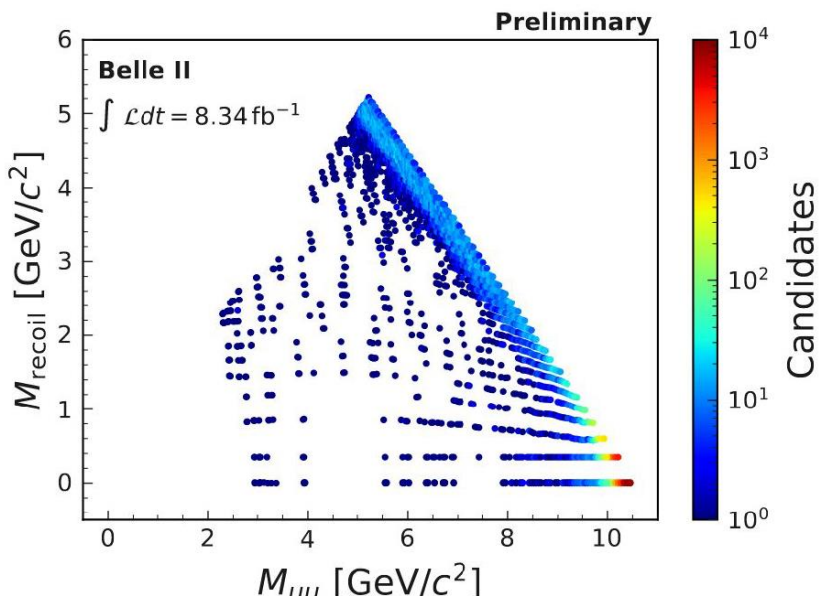
Search for Dark Higgs in $e^+e^- \rightarrow A'h'$

- Dark photon decay
 - $A' \rightarrow \mu\mu$
 - $M_{\mu\mu} > 1.65\text{GeV}$ for trigger limitation
- Dark Higgs
 - invisible
 - Recoil mass against dimuon system
- Trigger on dimuon
 - two track with opening angle $\Delta\phi > 90^\circ$
 - 90% efficiency
- Search in two dimensional plain
 - $M_{\mu\mu}$ VS M_{rec}
 - Correlated
 - Ellipse signal windows
- Dominant background
 - $e^+e^- \rightarrow \mu\mu\gamma$
 - $e^+e^- \rightarrow \tau\tau$
 - $e^+e^- \rightarrow ee\mu\mu$



Limits on $\sigma(e^+e^- \rightarrow A'h')$

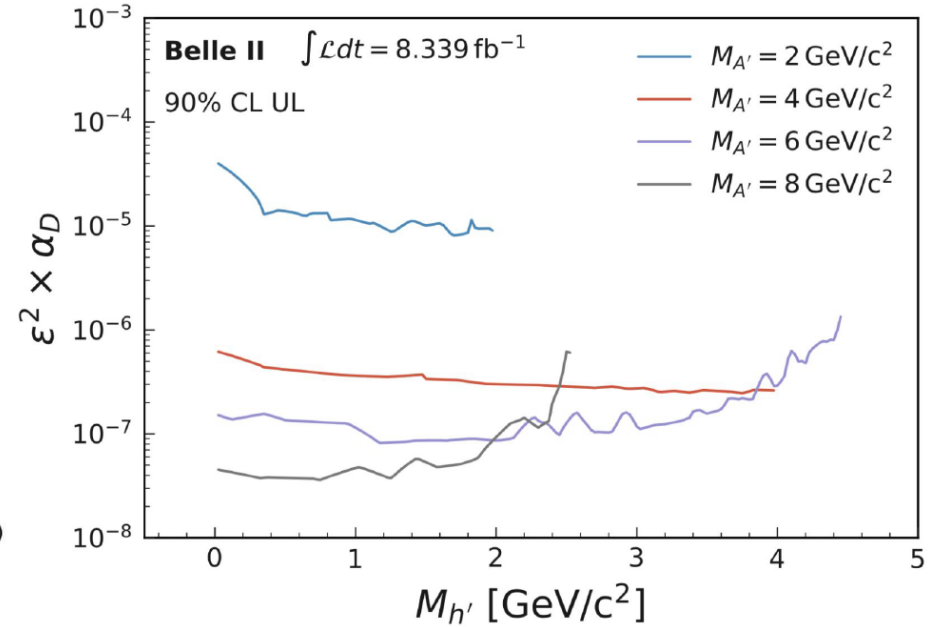
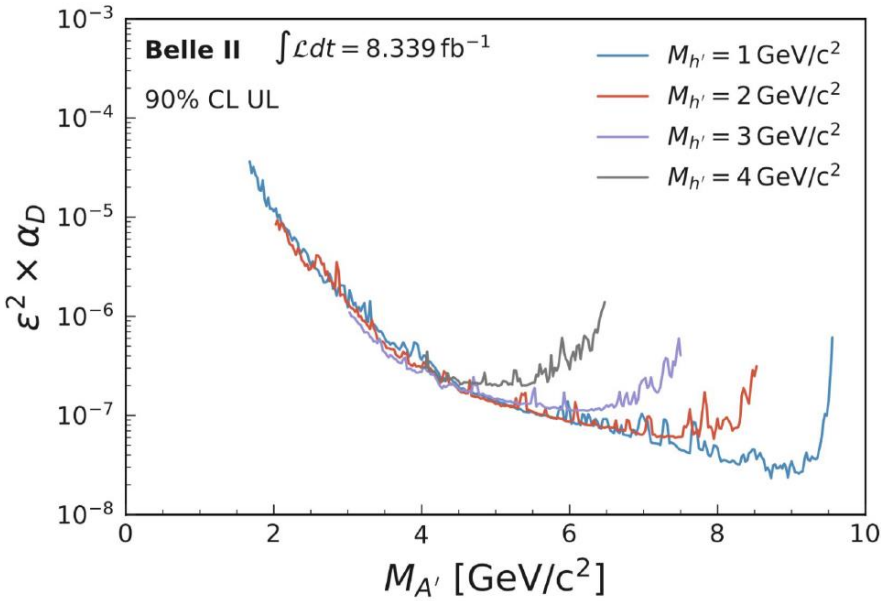
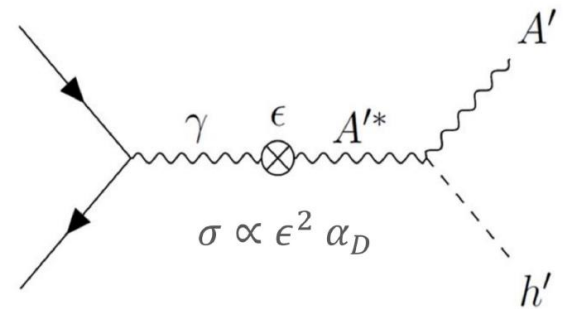
- No significant signal is observed
- Counting method to set the cross section limits in each bin
 - $\sigma(e^+e^- \rightarrow A'h') < 10\text{fb}$ for wide region
- World's leading limit for $1.65 < M_{A'} < 10.51\text{GeV}$



Discreteness is due to binning effect

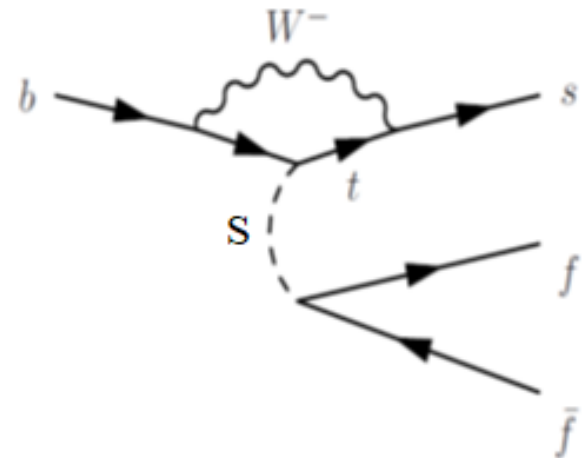
Limits on Physics Parameters

- 4 parameters : $M_{A'}$, $M_{h'}$, ϵ and α_D
- Limit on $\epsilon^2 \alpha_D$
 - Kinetic mixing ϵ and coupling constant α_D cannot be separately constrained in this process.
- First limits in this mass region

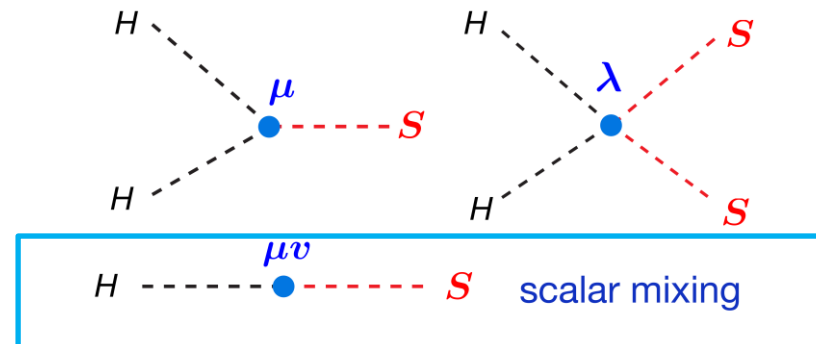


B中間子崩壊でのDark Scalar

- B中間子の $b \rightarrow s$ Penguin 崩壊は loop の中に top quark を含む
 - 湯川結合がデカい
- SM Higgs との mixing があれば dark scalar を作ることが可能である
 - Mixing angle θ

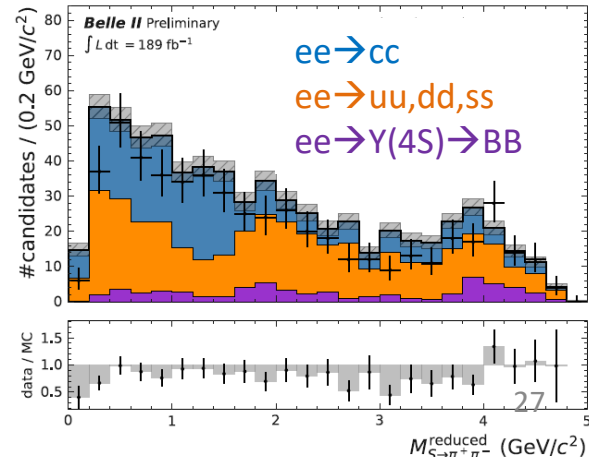
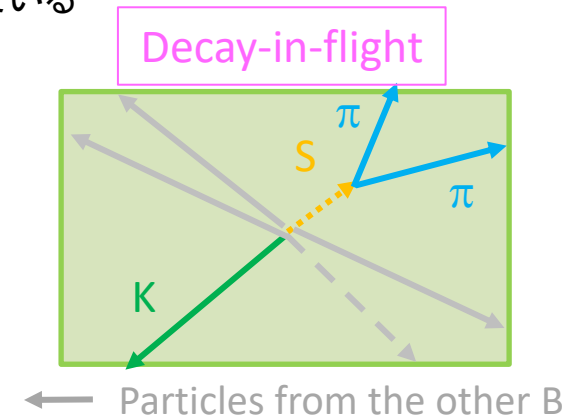


- Scalar Portal : $(\mu S + \lambda' S^2) |H|^2$



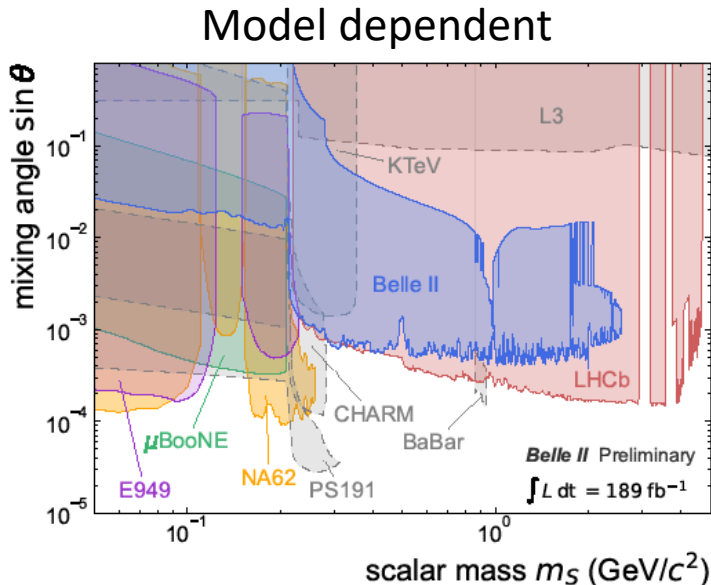
Long-lived Dark Scalar in B Decays

- Dark scalar particles S
 - $M_S < 2M_\chi$
 - $S \rightarrow \chi\chi$ は relic density を説明出来る領域はすでに排除されている
 - SM Higgs と混ざることが出来る with the mixing angle θ
 - 湯川結合は重い fermion でデカい
 - long-lived if θ is small
- $B \rightarrow K^+ S$ and $B \rightarrow K^{*0} S$ decays
 - S is radiated off from internal top quark in $b \rightarrow s$ decays
 - $S \rightarrow ee, \mu\mu, \pi\pi, KK$
 - In total, 8 decay modes
- B が長寿命粒子に崩壊
 - Trigger を気にしなくて良い
 - Clean displaced vertex signature
 - Dominant backgrounds are combinatorial
 - $ee \rightarrow cc$, $ee \rightarrow uu, dd, ss$, $ee \rightarrow Y(4S) \rightarrow BB$
 - Long-lived K_S^0 is a good control sample



Limit on $B \rightarrow K^{(*)} S$

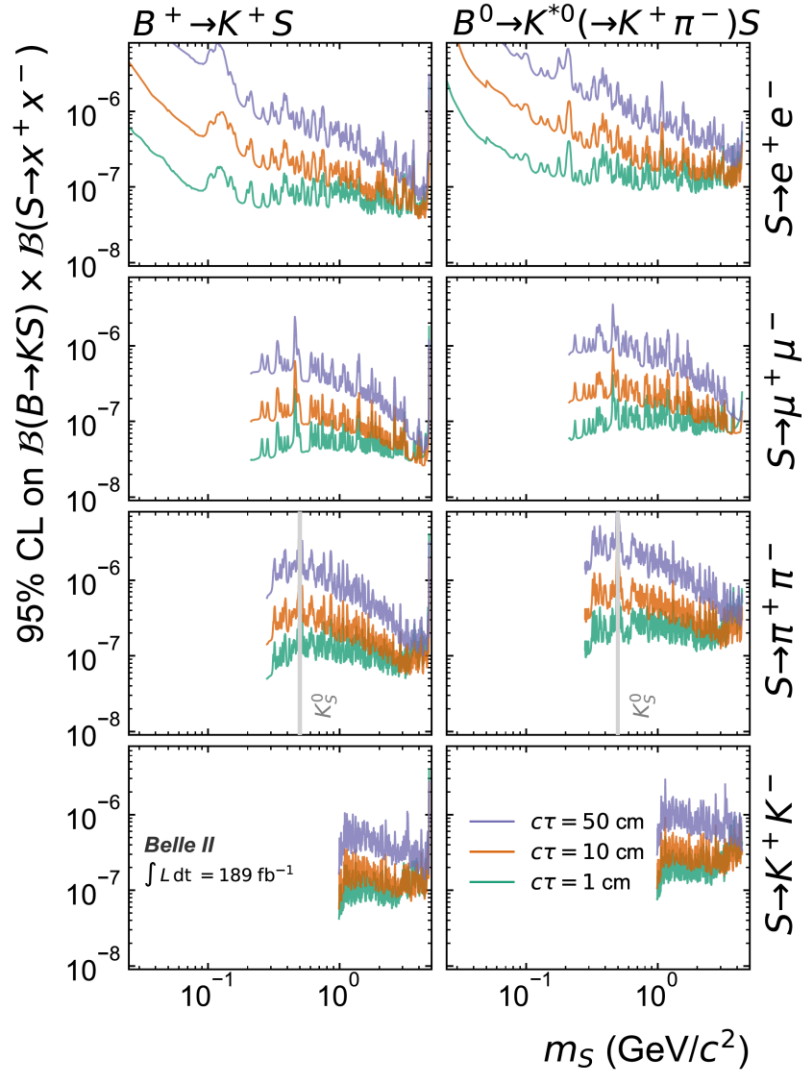
- BFに対するモデル非依存の制限
 - As functions of $c\tau$ and mass.
 - For 8 decay modes
 - First limit on S decaying to hadrons
- モデル依存の制限 on m_S vs. $\sin\theta$
 - Dark Higgs mixing with the SM Higgs
Filimonova, Schäfer, Westhoff, Phys. Rev. D 101, 095006



20231218

publication in preparation

Model independent $c\tau = 1\text{cm}, 10\text{cm}, 50\text{cm}$



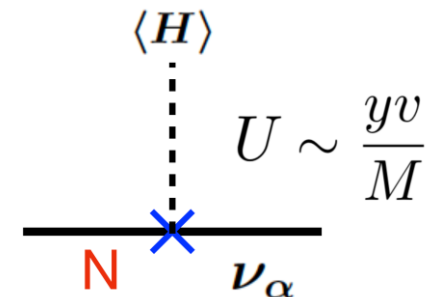
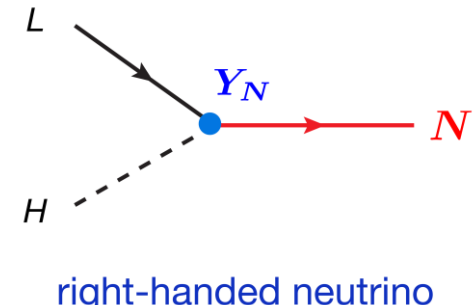
Sterile Neutrino

- Belle II で最近始めました
 - Belle の制限が強い

Sterile Neutrino

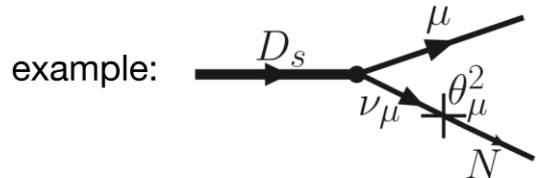
- EW scaleより下であればNeutrino の生成は
 - B,D中間子の(セミ)レプトニック崩壊
 - $B \rightarrow D^{(*)} l \bar{\nu}$, $B^+ \rightarrow \mu^+ \nu$
 - τ レプトンの崩壊
- Active neutrino が Sterile neutrino と mixing
 - $U_{e4}, U_{\mu 4}, U_{\tau 4}$
- 崩壊の時も active neutrino への mixing で
- 基本的に長寿命
 - Weak interaction で崩壊
 - さらに mixing の効果

- Fermion Portal : $Y_N \bar{L} H N$

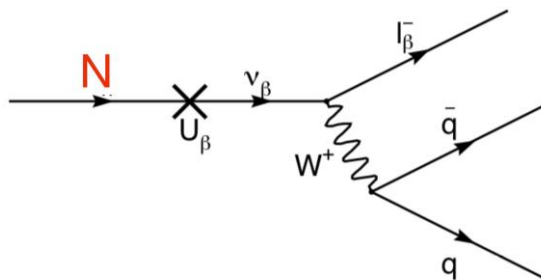


Production

from meson decays:

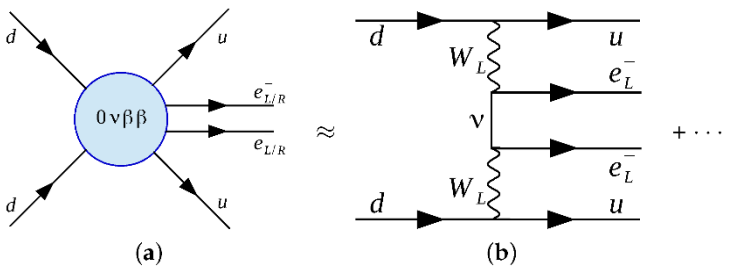


Decay

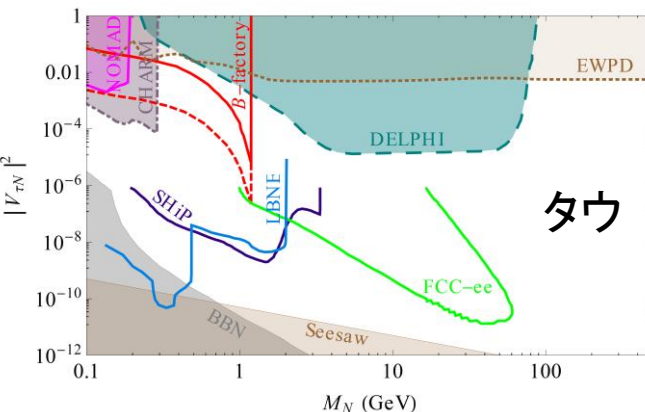
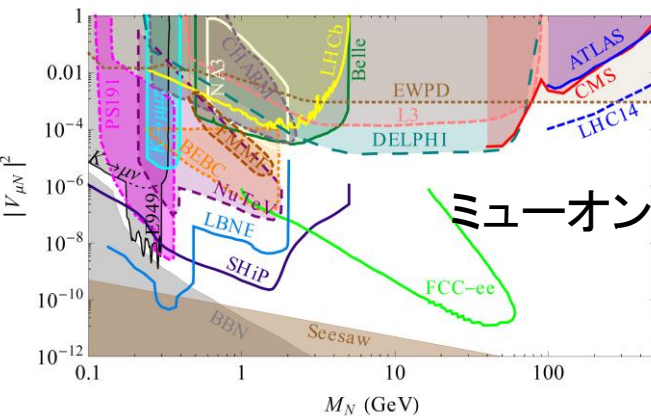
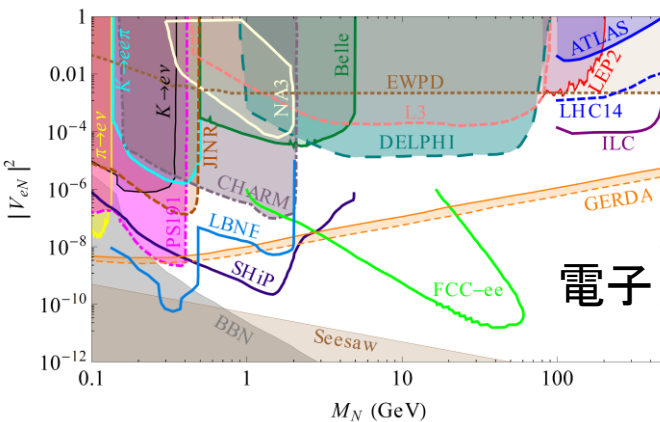


Sterile Neutrinoの制限

- Collider
 - LEP, LHC, Belle
- Fixed target
 - CHARM
- $0\nu\beta\beta$
 - 電子モードはこれで強い制限がついている
 - 標準模型では $2\nu\beta\beta$ だが majorana neutrino であれば $0\nu\beta\beta$ が可能
 - ${}^{76}\text{Ge} \rightarrow {}^{76}\text{Se}$ e^-e^- (GERDA)
 - ${}^{136}\text{Xe} \rightarrow {}^{136}\text{Ba}$ e^-e^- (KAMLand-Zen)

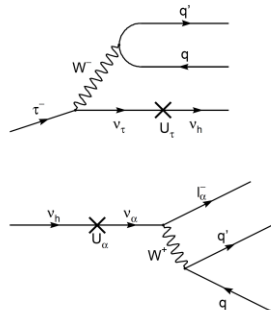


- 重要なのはミューオンとタウ

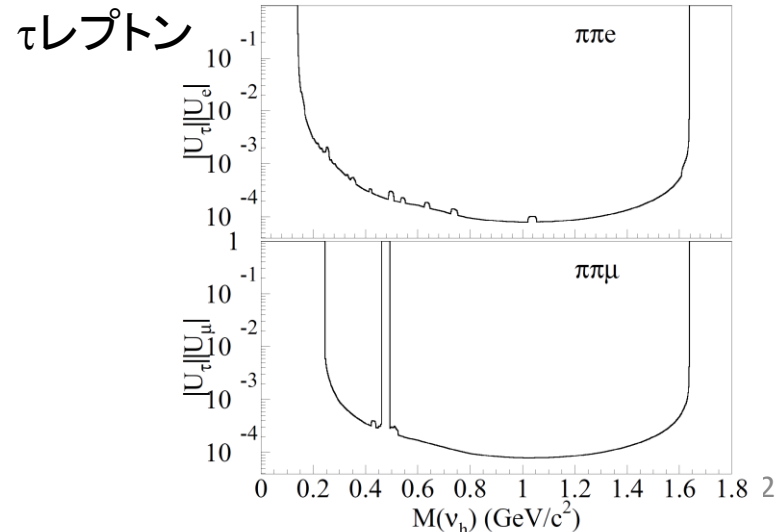
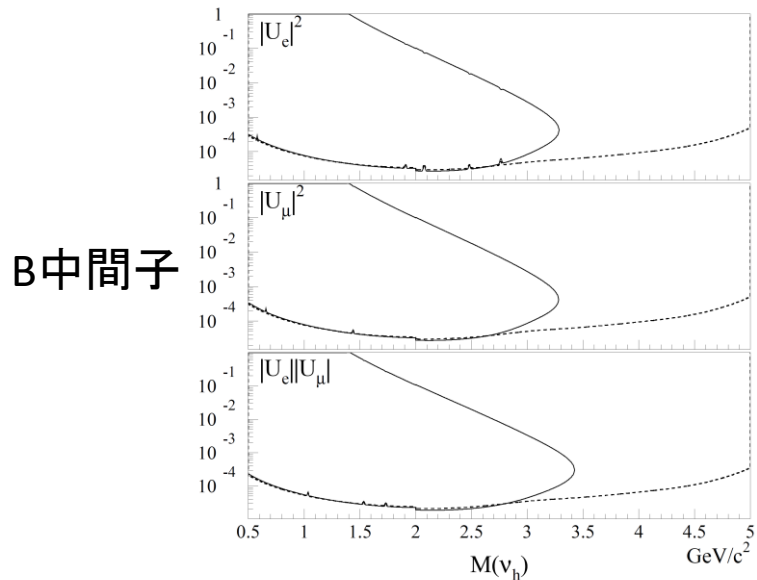


Belle での Sterile Neutrino 探索

- B中間子崩壊 1301.1105
 - $B \rightarrow D^(*) l N, N \rightarrow l \pi$ ($l = e, \mu$)
 - $|U_e|^2, |U_\mu|^2, |U_e| |U_\mu|$ に制限
- τ レプトン崩壊 2212.10095
 - $\tau \rightarrow N \pi, N \rightarrow l \pi$ ($l = e, \mu$)
 - $|U_e| |U_\tau|, |U_\mu| |U_\tau|$ に制限

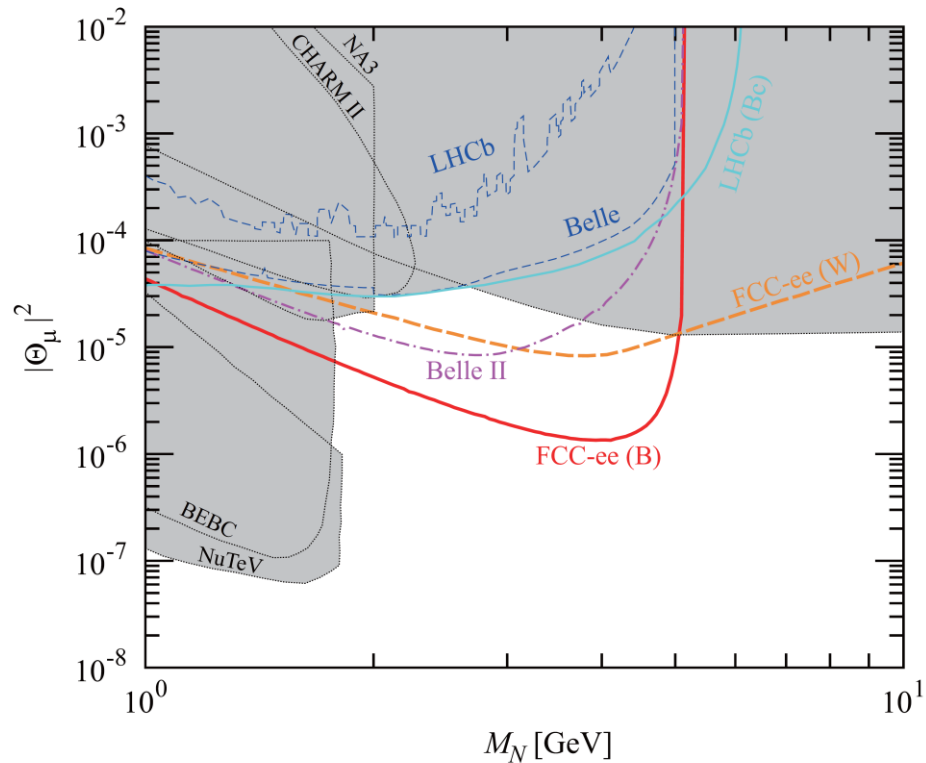


- 生成と崩壊を見るので mixing matrix element の4乗 $|U|^4$ に制限



$B^+ \rightarrow \mu^+ N$ at Belle II

- $B^+ \rightarrow \mu^+ N, N \rightarrow \mu^+ \pi^-$
- N は重いので Helicity suppression が緩和される



Asaka, Ishida 15

Invisible Sterile Neutrino

- 崩壊しない場合 N は観測できない
 - $B \rightarrow D(*) + N$
 - $B^+ \rightarrow \mu^+ N$
- 逆側のBを tag して Recoil mass を測定
 - FEIの efficiency ($\sim 0.3\%$)がかかる
 - 背景事象が多い
- 生成しか見ないので mixing matrix element の2乗 $|U|^2$ に制限

Summary

- Belle II ではフレーバーの物理以外にも、軽い新粒子探索が可能である。
- Dark sector mediator 探索では暗黒物質に崩壊する場合も探索出来る。
- 今回説明できませんでしたが、inelastic dark matter や ATOMKI X17 なども探しています
- 新しい模型がありましたら教えてください。

backup

